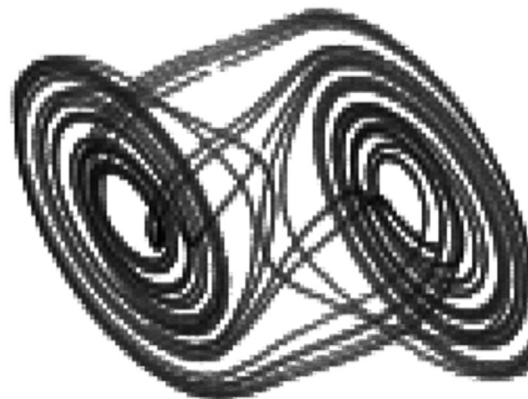


# LE CIRCUIT DE CHUA



**Une application de l'utilisation  
du chaos au service de la  
cryptographie**

# INTRODUCTION

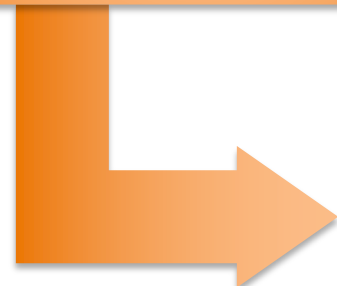
**La cryptographie :**  
Un enjeu majeur pour  
notre société de plus en  
plus informatisée

**Systèmes de  
cryptographie actuels  
semblent menacés**  
Arrivée de systèmes informatiques  
d'une grande puissance avec  
l'exemple de l'ordinateur quantique

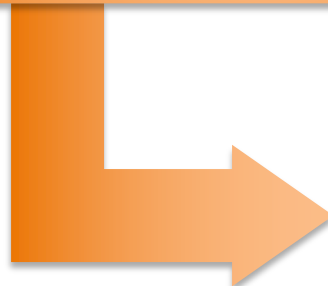
**Le Circuit de Chua:**  
Un circuit chaotique au  
service de la  
cryptographie ?

# PLAN

I-Présentation du circuit de Chua



II-Analyse du signal généré par le circuit



III-Application du circuit à la cryptographie

# I-Présentation du circuit de Chua

## 1) Vue d'ensemble du circuit

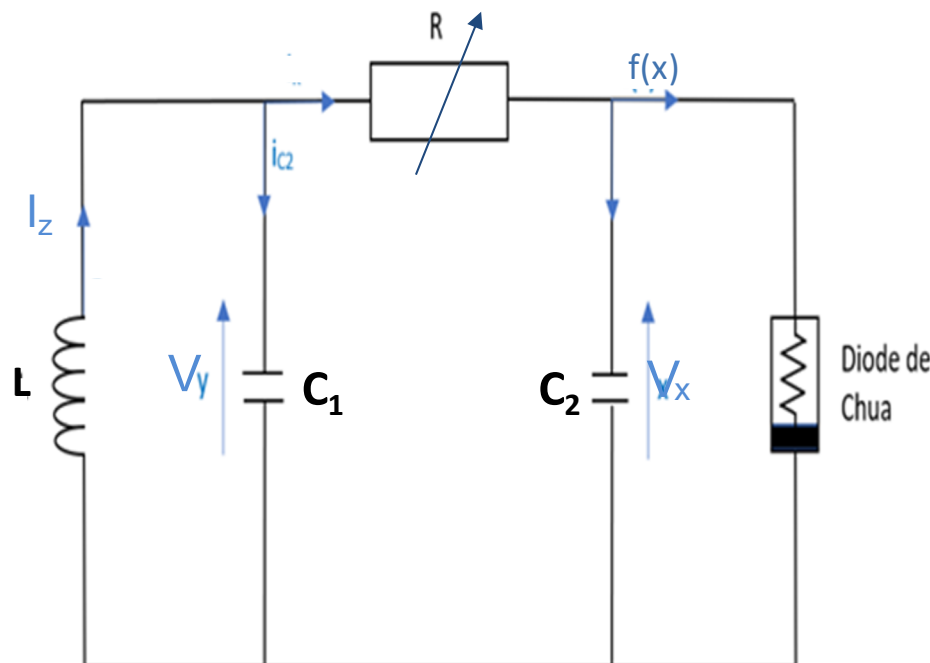
I- Présentation

- 1) Présentation circuit
- 2) La diode de Chua
- 3) Mise en œuvre pratique

II- Analyse signal

III- Applications

### Partie « oscillateur » du circuit



Circuit chaotique le plus simple  
en termes de composants :

$$L = 15 \text{ mH} \quad C_1 = 10 \text{ nF} \quad C_2 = 100 \text{ nF} \quad R = (2,5 \pm 0,1) \text{ k}\Omega$$

Les équations du système : non  
linéaires :

$$\left\{ \begin{array}{l} \frac{dV_x}{dt} = \frac{1}{C_1} \times \left( \frac{1}{R} (V_y - V_x) - f(x) \right) \\ \frac{dV_y}{dt} = \frac{1}{C_2} \times \left( I_z - \frac{1}{R} (V_y - V_x) \right) \\ \frac{dI_z}{dt} = - \frac{V_y}{L} \end{array} \right.$$

$$f(x) = m_0 x + 0,5 \times (m_1 - m_0)|x + V_{sat}| + 0,5 \times (m_0 - m_1)|x - V_{sat}|$$

$$\text{Avec } m_1 = - \left( \frac{R_2}{R_1 \times R_3} + \frac{R_5}{R_4 \times R_6} \right) \text{ et } m_0 = \frac{1}{R_6} - \frac{R_2}{R_1 \times R_3}$$

# I-Présentation du circuit de Chua

## 2) La diode de Chua

### I- Présentation

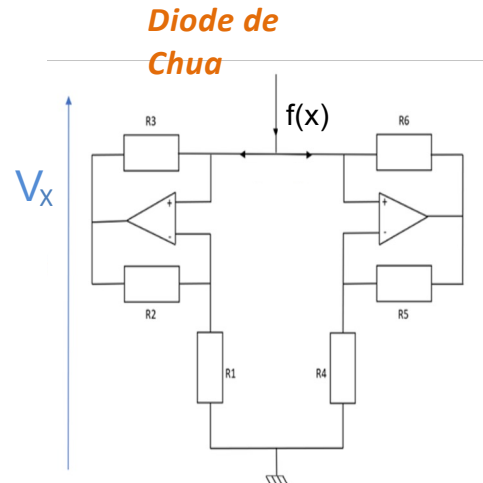
1) Présentation circuit

2) La diode de Chua

3) Mise en oeuvre pratique

### II- Analyse signal

### III- Applications

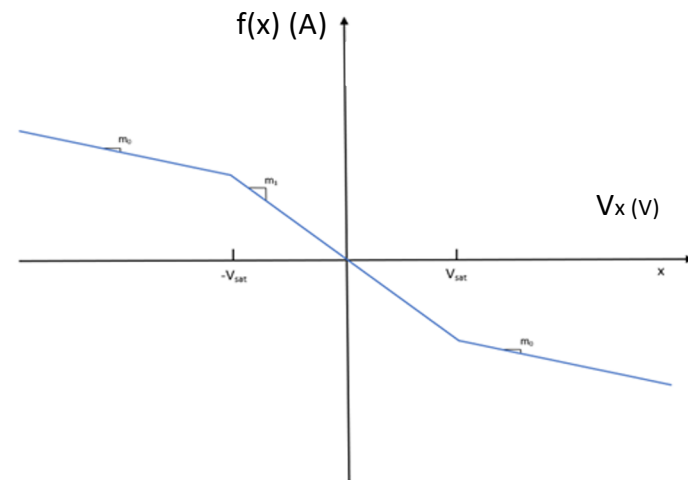


### Caractéristique de la diode de Chua :

- Ligne brisée (équations non linéaires)
- Pente négative car apport d'énergie par résistance négatives



### Attendu théorique :



# I-Présentation du circuit de Chua

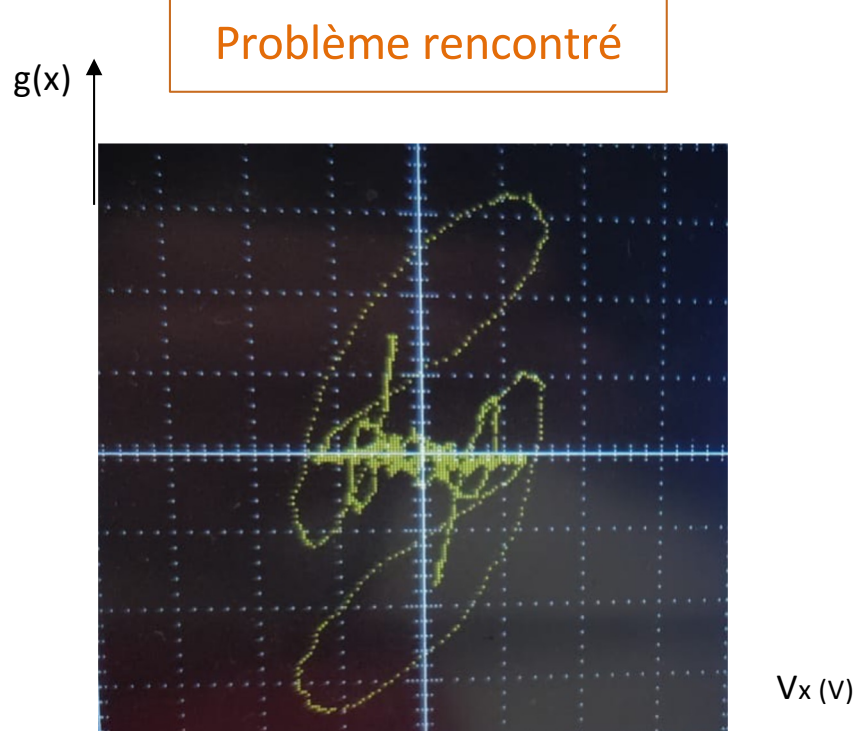
## 3) Mise en oeuvre expérimentale

I- Présentation

- 1) Présentation circuit
- 2) Attendu théorique
- 3) **Mise en œuvre pratique**

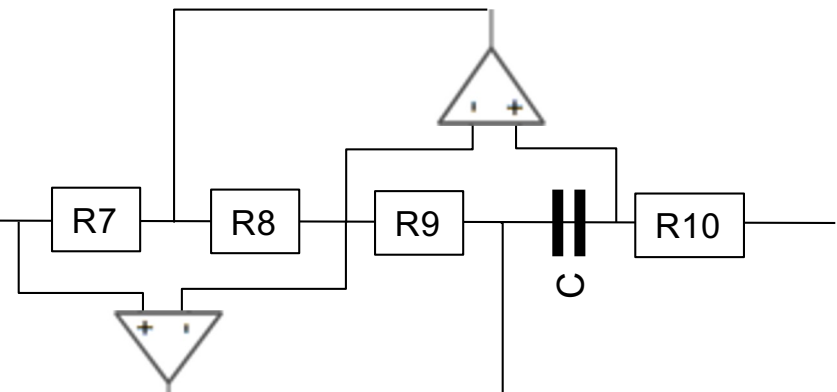
II- Analyse signal

III- Applications



- Échec car résistance interne  $80\Omega > 10\Omega$  (max)
- Courbe qui converge vers la tension nulle

Solution :



Inductance simulé de résistance théoriquement nulle

$R_7, R_8, R_9, R_{10} = 100\Omega, 1k\Omega, 1k\Omega, 2,5k\Omega$	$R = 100 \text{ nF}$
---	----------------------

# I-Présentation du circuit de Chua

## 3) Mise en oeuvre expérimentale

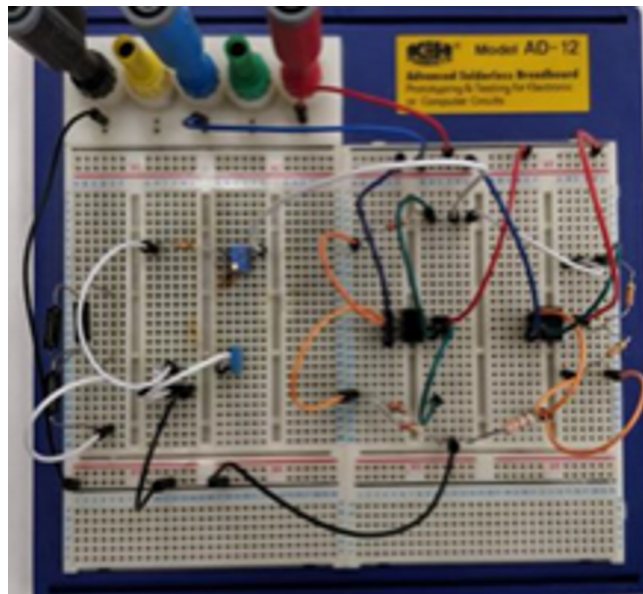
I- Présentation

- 1) Présentation circuit
- 2) La diode de Chua
- 3) **Mise en oeuvre pratique**

II- Analyse signal  
III- Applications

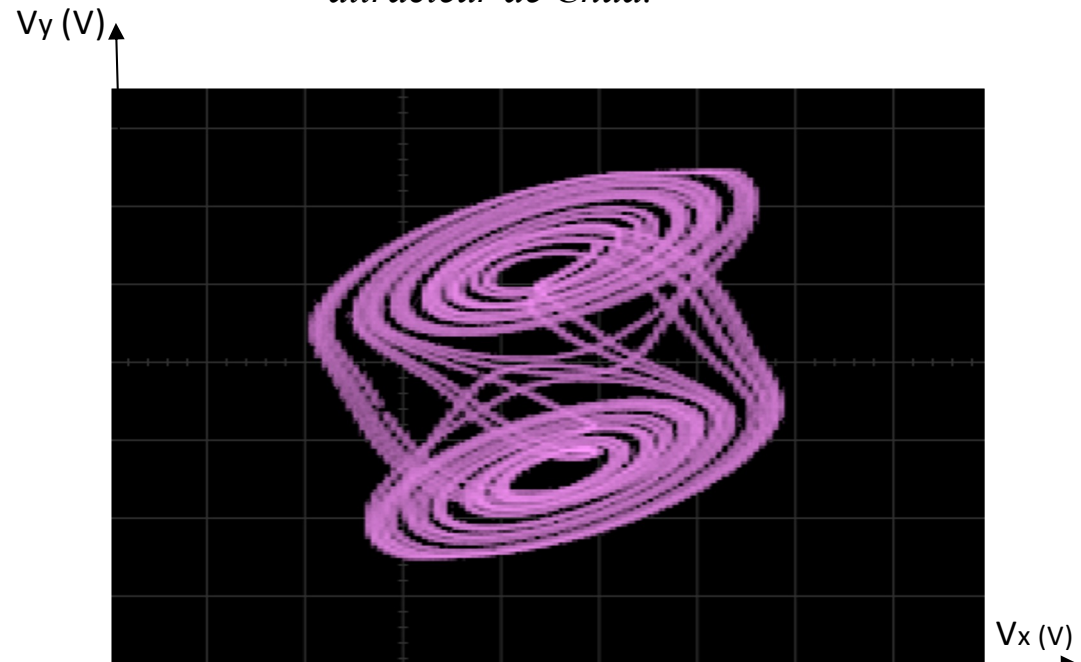
Circuit fonctionnel monté sur plaquette sans soudure :

- Diode de Chua à droite
- Oscillateur LC à gauche



Signal expérimental à l'oscilloscope en mode XY :

- Après quelques mois, ce signal est enfin obtenu !  
D'après la littérature : *double attracteur de Chua*.



# I-Présentation du circuit de Chua

## 3) Mise en oeuvre expérimentale

### I- Présentation

- 1) Présentation circuit
- 2) Attendu théorique
- 3) **Mise en œuvre pratique**

### II- Analyse signal

### III- Applications

#### Résolution Python des équations du circuit, affichage de la solution X, Y, Z :

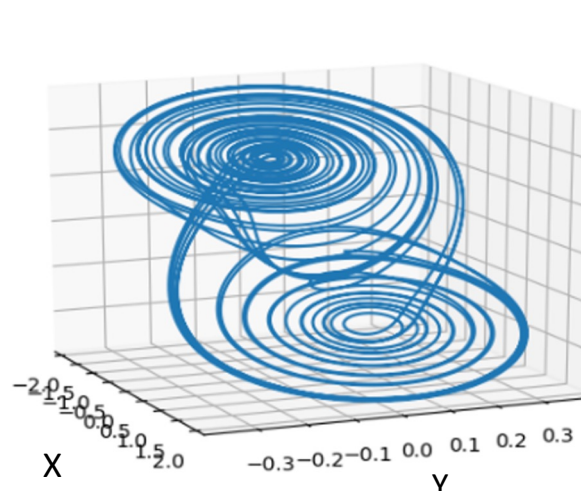
- Double attracteur caractéristique d'un régime chaotique
- Forte sensibilité aux conditions initiales

#### Adimensionnement des variables :

$$\begin{aligned} \bullet \quad X &= \frac{x}{x_c} & \bullet \quad Z &= \frac{R \times z}{x_c} \\ &\dots && \\ \bullet \quad Y &= \frac{y}{x_c} & \bullet \quad T &= \frac{t}{R \times C_2} \end{aligned}$$

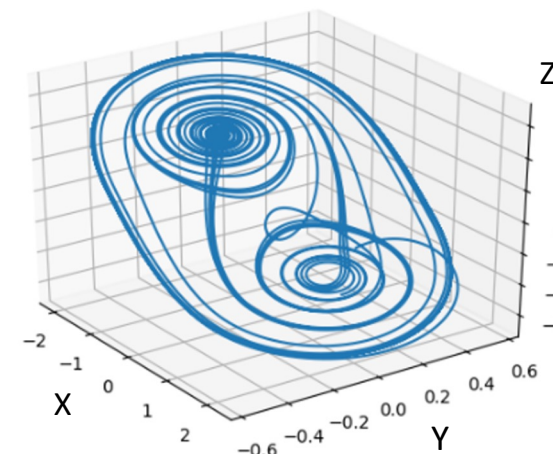
$$X_0 = 0,7 \text{ mV} ; Y_0 = 0 \text{ mV} ;$$

$$Z_0 = 0 \text{ mV}$$



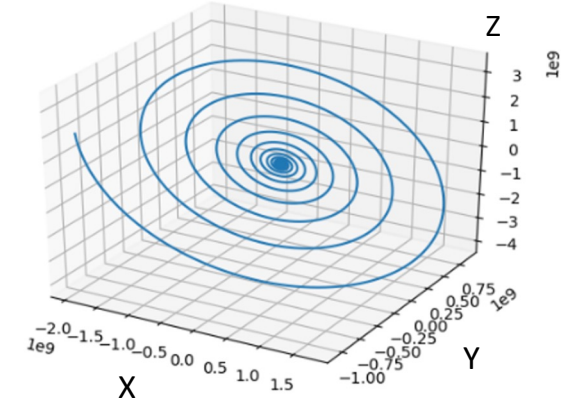
$$X_0 = 2,01 \text{ mV} ; Y_0 = 0 \text{ mV} ;$$

$$Z_0 = 0 \text{ mV}$$



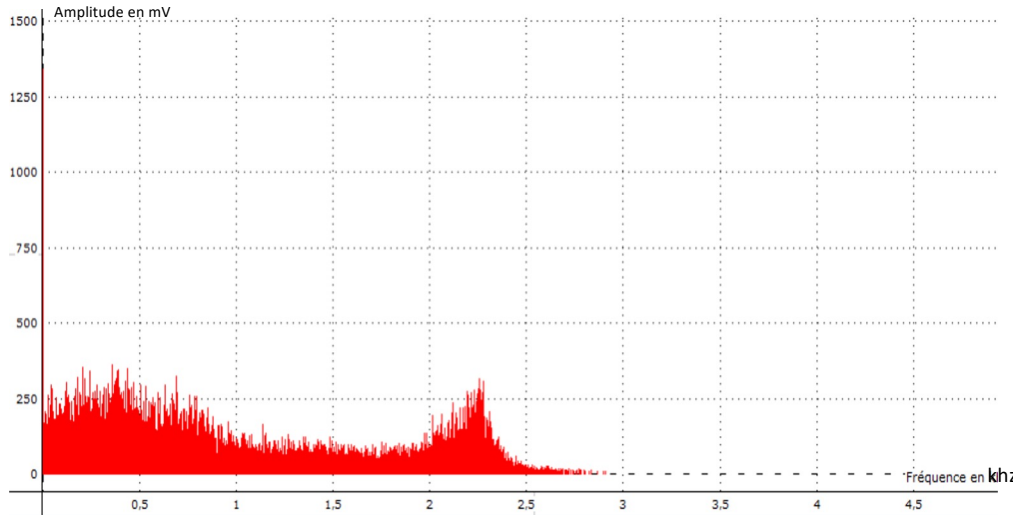
$$X_0 = 2,07 \text{ mV} ; Y_0 = 0 \text{ mV} ;$$

$$Z_0 = 0 \text{ mV}$$



# II- Analyse du signal

I- Présentation  
**II- Analyse signal**  
III- Applications



**FFT du signal échantillonné  
( $T_e = 10\mu s$ , 256 000 points)**

Analyse des résultats

- Pas de fréquences prédominantes
- Fréquence à 2,3 kHz attendue (passage par le circuit LC), n'est pas une limite à l'utilisation
- Composante continue ?

Limites rencontrées

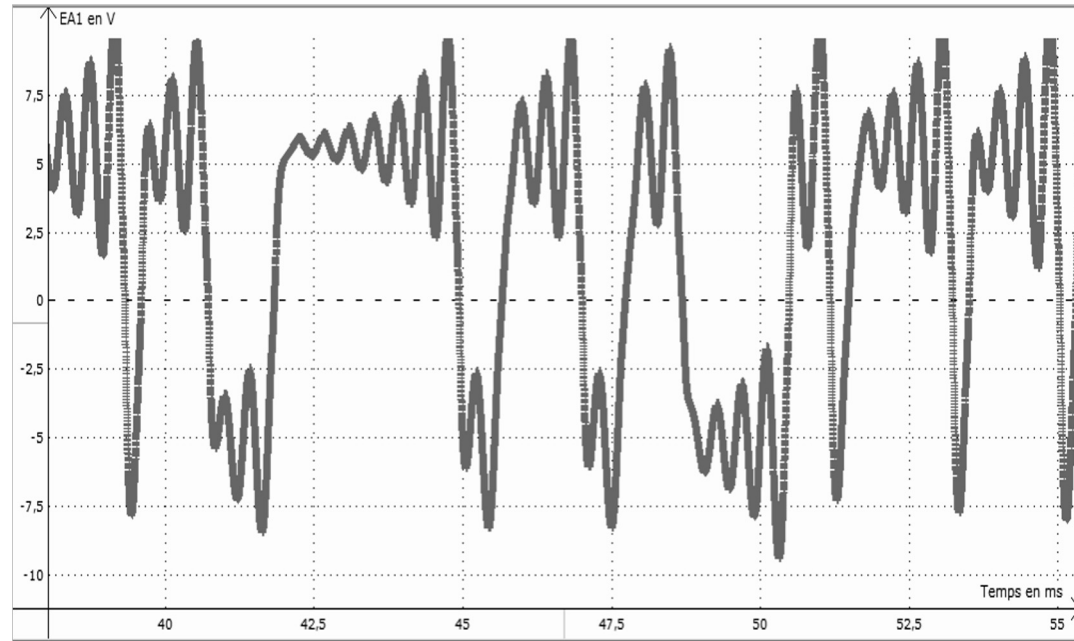
- Nécessité d'un analyseur de spectre analogique
- Ici analyseur de spectre numérique, fréquences caractéristiques "fantômes" car fenêtre limitée

# III- Les applications

## 1) La RNG : *Random number generator* : principe

I- Présentation  
II- Analyse signal  
III- Applications

- 1) **RNG**  
2) *Encodage Décodage*  
3) *Encryptage*



Signal échantillonné sur Latis Pro,  $T_e = 10\mu s$ ,  
256 000 points

### Principe :

- Générer des séquences de bits à partir d'une propriété du signal.

### Propriété exploitée :

- Signe du signal : oscille aléatoirement entre signe positif et négatif.
- Signal relevé positif → 1  
Signal relevé négatif → 0

# III- Les applications

## 1) La RNG : résultats

I- Présentation

II- Analyse signal

III- Applications

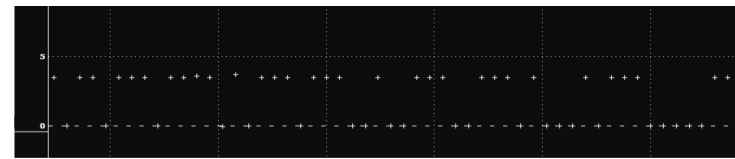
1) **RNG**

2) *Encodage Décodage*

3) *Encryptage*

Échantillonnage du  
signal sortant du  
comparateur :

COURBE BITS



0 0 1 0 1 0 0 0 1 0 1 0

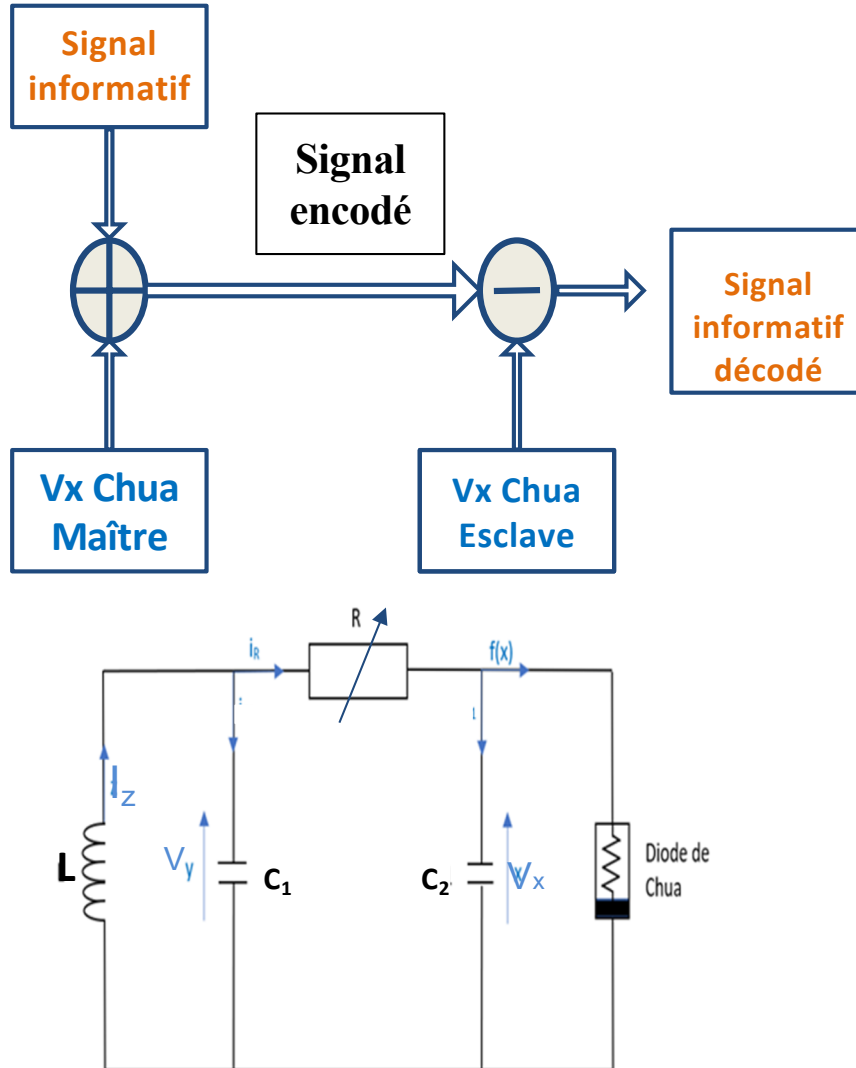
Résultats :

- Séquences exploitables (génération de mots de passes)
- Valeur moyenne sur 1000 points (1 ou 0) : 0,56  
Origine probable : léger offset

# III- Les applications

## 2) Encodage - Décodage : principe

- I- Présentation
- II- Analyse signal
- III- Applications
  - 1) RNG
  - 2) **Encodage Décodage**
  - 3) Encryptage



### Synchronisation :

- But : avoir le même signal dans les circuits maîtres et esclaves pour réussir décodage
- Montage suiveur utilisé pour que  $V_{X, \text{maître}} = V_{X, \text{esclave}}$

# III- Les applications

## 2) Encodage - Décodage : synchronisation

I- Présentation

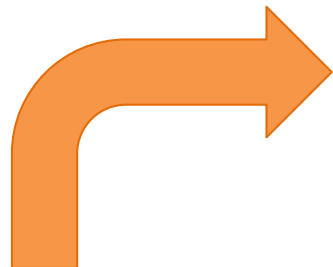
II- Analyse signal

III- Applications

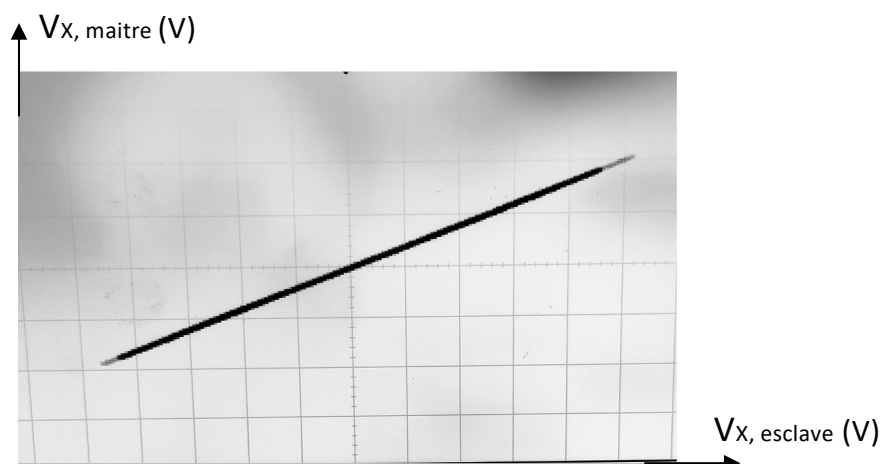
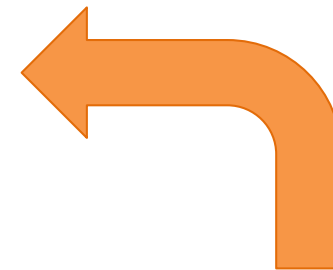
1) RNG

2) **Encodage Décodage**

3) Encryptage

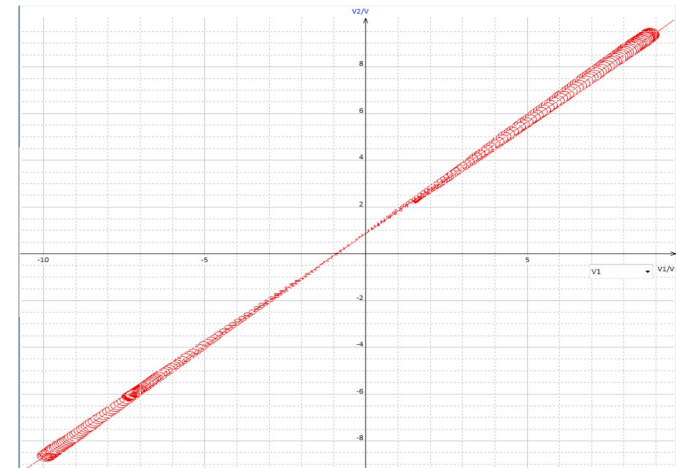


- $V_{X, \text{esclave}} = A * V_{X, \text{maître}} + B$
- $A = (994,8 \pm 0,7)$   
 $B = (869 \pm 1)\text{mV}$
- $\chi^2 = 1,34$



Observation en XY à l'oscilloscope de

$V_{X, \text{maître}}$  et  $V_{X, \text{esclave}}$



$V_{X, \text{maître}}$  en fonction de  $V_{X, \text{esclave}}$  avec  
incertitude sur LatisPro

# III- Les applications

## 3) Encryptage d'un signal

I- Présentation

II- Analyse signal

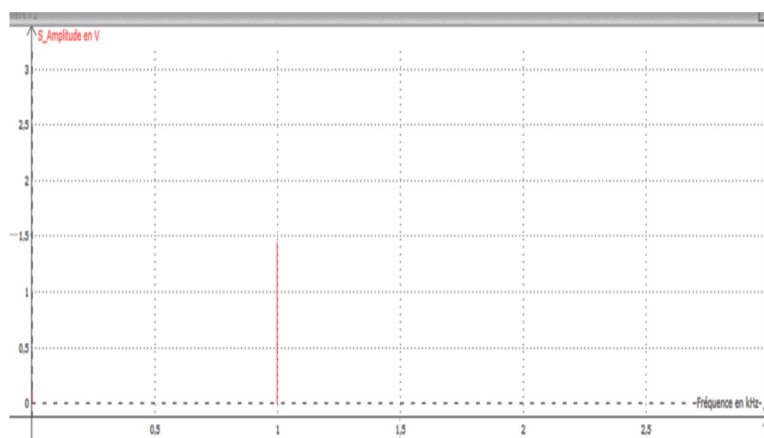
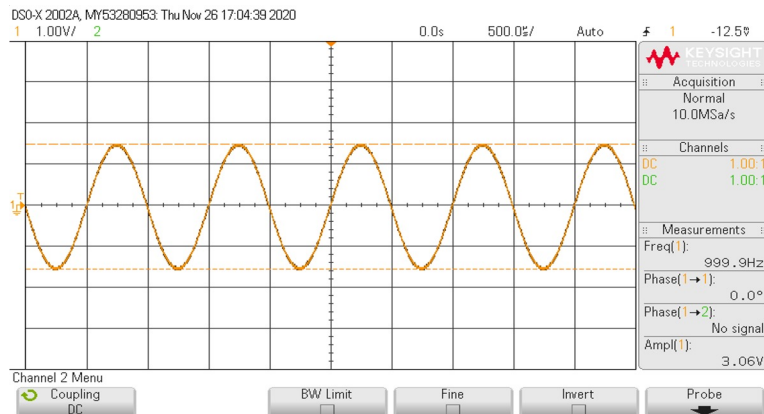
III- Applications

1) RNG

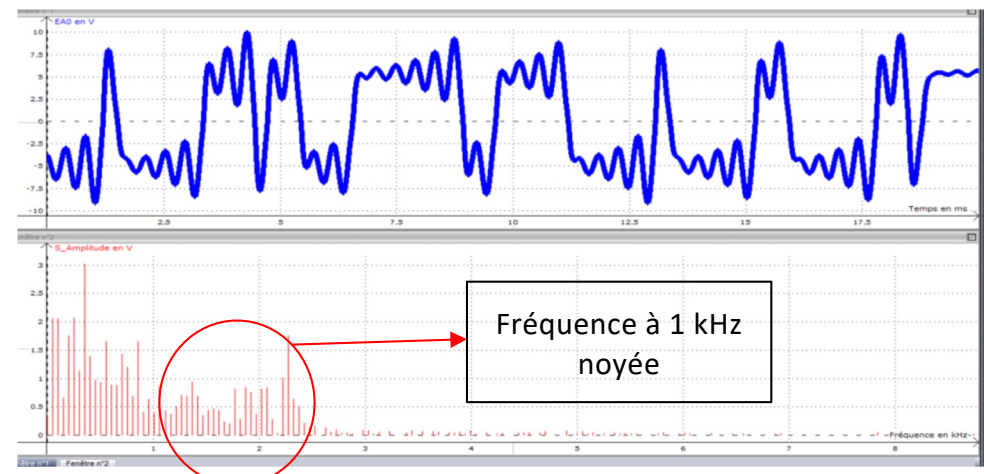
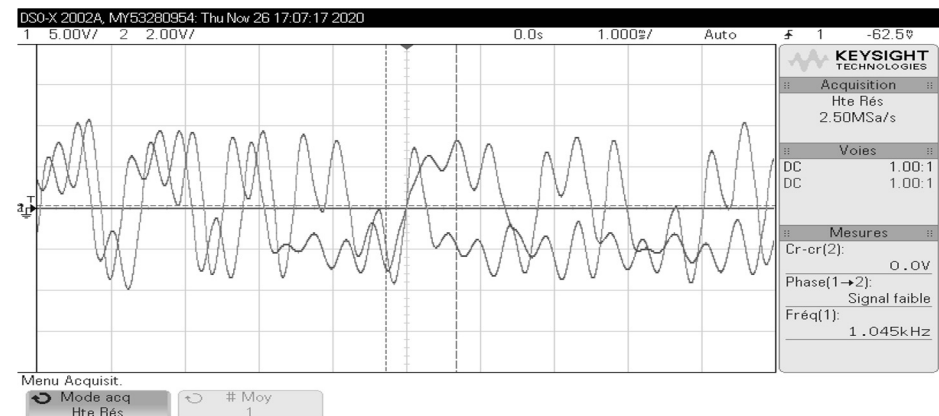
2) Encodage Décodage

3) Encryptage

### Signal à coder :



### Signal codé :



# III- Les applications

## 3) Encryptage d'un signal

I- Présentation

II- Analyse signal

III- Applications

1) *RNG*

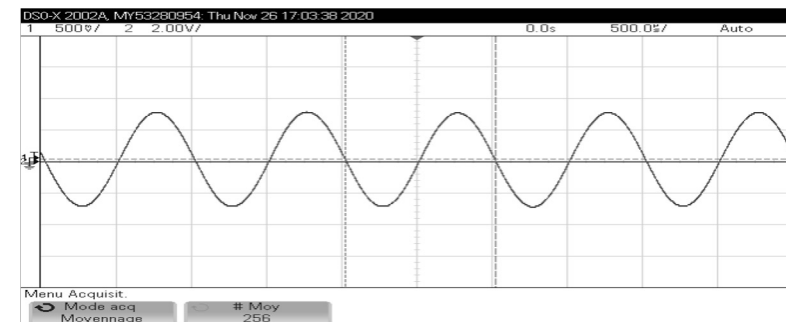
2) *Encodage Décodage*

3) *Encryptage*

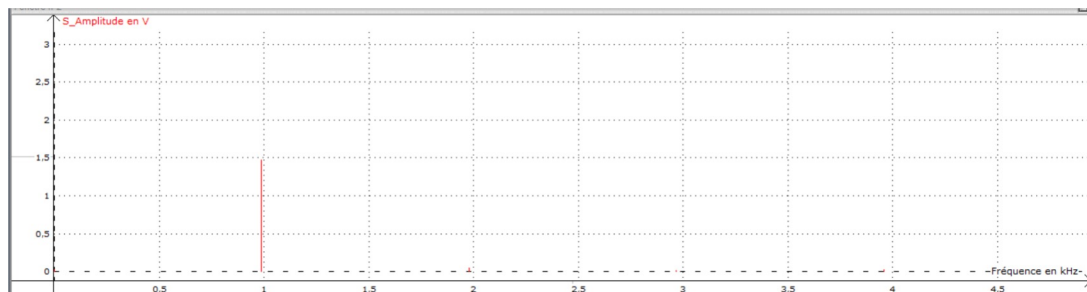
### Signal décodé brut :



### Signal décodé moyenonné :



### Analyse de Fourier de signal décodé :



### Evaluation quantitative de la qualité d'encodage:

- TDH : *Taux de Distorsion Harmonique*
- Mesure écart relatif entre deux signaux (en tension efficace)
- Ecart experimental ici de 4%, très bas.

# LIMITES

## LIMITES RENCONTRÉES



- L'ARQS imposent de courtes distances



- Communications filaires seulement



- Qualité de l'encodage dépendante de la précision des appareils de synchronisation



- Il existe des circuits chaotiques plus complexes mais plus efficaces

## FLEXIBILITÉ ET FIDÉLITÉ



- Toute nature de signal



- Toutes les fréquences conventionnellement utilisées



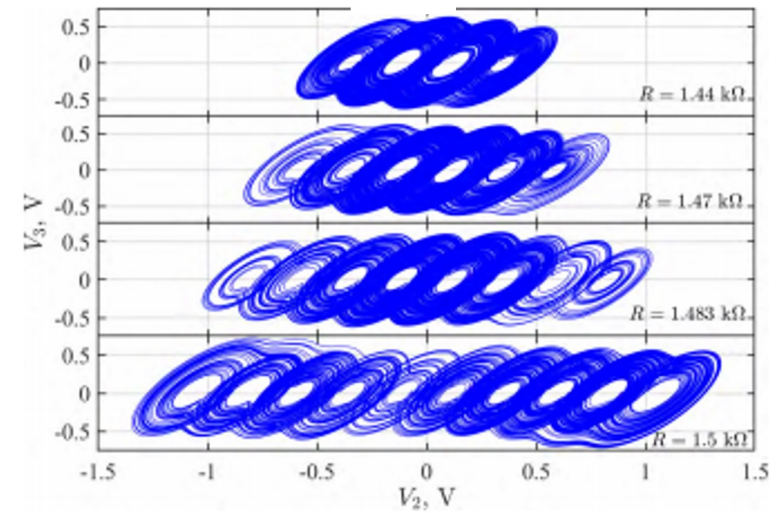
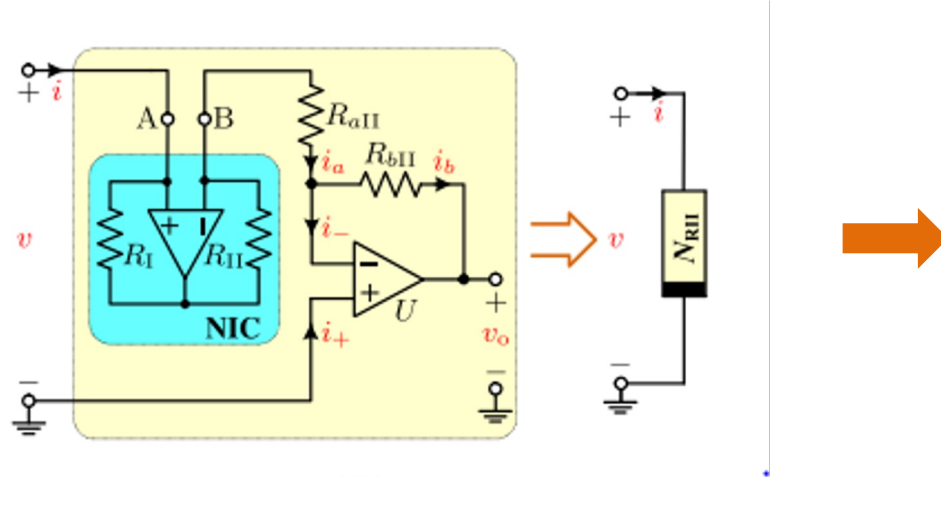
- Signal décodé fidèle à celui encodé



- Apparition d'un léger bruit

# LIMITES

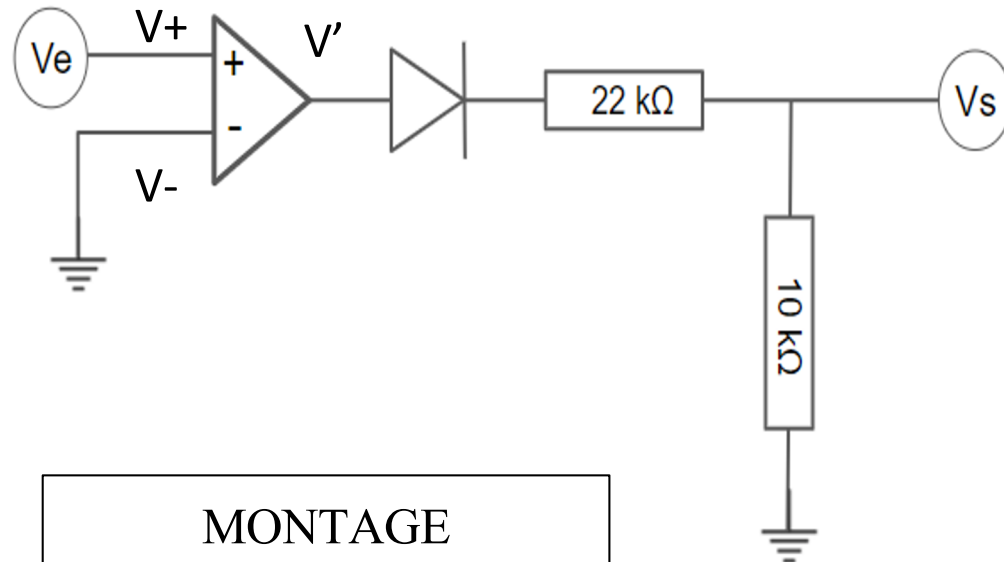
D'après les travaux de Ning Wang et Chengqing Li



Autre version  
de la diode de  
Chua

Attracteurs de  
Chua multiple  
obtenu

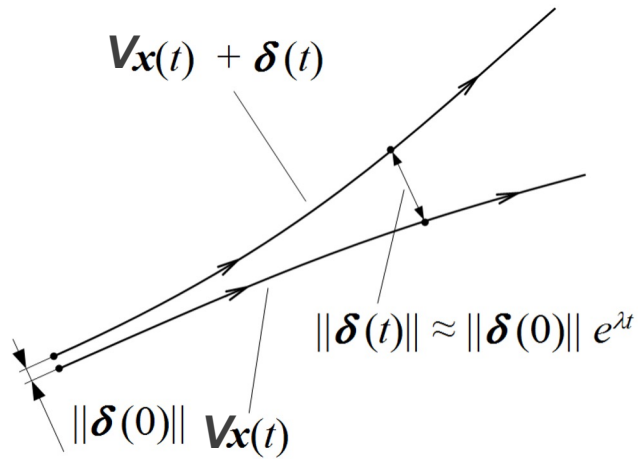
# IV - Annexe : La RNG comparateur



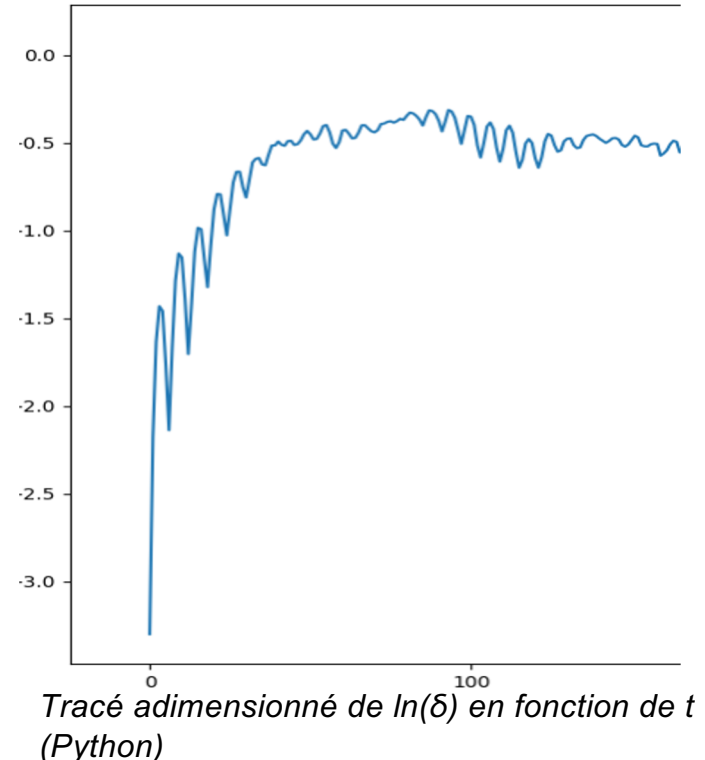
## Principe :

- Si  $V_e > 0V$  (ie  $V_+ > V_-$ ) :  
 $V' = +V_{sat} > 0V$   
Diode passante  
 $V_s = +V_{sat}$  (ici  $V_{sat}/3,2$ )
- Si  $V_e < 0V$  (ie  $V_+ < V_-$ ) :  
Diode bloquée  
 $V' = 0V$
- On relève périodiquement  $V_s$

# IV - Annexe : L'exposant de Lyapunov



Pente à l'origine de  $\ln(\delta(t)) \Rightarrow \lambda$

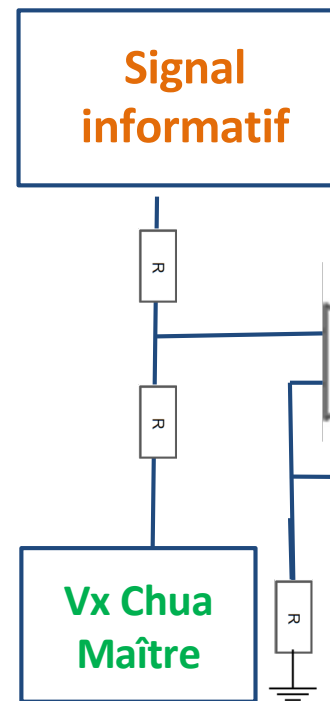


**Mise en œuvre grâce à un algorithme adapté du net:**

- Valeur obtenue :  $0,5 \pm 0,2$  ; Valeur en littérature :  $0,23 \pm 0,02$
- $\lambda > 0$
- Limites de l'algorithme : 1 seule dimension considérée sur 3

# IV - Annexe : Additionneur - Soustracteur

## Circuit additionneur



## Circuit soustracteur

